

M-3S, サイド・ジェット・エンジン部について

上杉 邦憲・秋葉鎧二郎・高野 雅弘・
安田 誠一・吉永 五男*・藤尾 照次*

(1985年12月20日受理)

1. 序

M-3S型ロケットのサイド・ジェット・エンジン(SJ)部は、第2段ロケットのノズルのまわりにTVC部と共に配置されている。2段目モータ燃焼中、SJ部はロール制御のみを行い、その後、最終段の打出し方向設定のための3軸制御および最終段にスピナの1部を加える機能をもつ。SJはM-3S-1, 2においては過酸化水素を触媒によって分解したホットガス方式であり、M-3S-3, 4では、燃料を無水ヒドラジン(以降ヒドラジンという)に変更している。いづれも燃料の供給はプラダを介して調圧された窒素ガスによる加圧供給方式である。すなわちM-3S-1, 2のSJ部は従来のM-3C[1], M-3H[2]と同様であるが、M-3S-3以降はSJの性能向上のための燃料およびこれに伴う変更がなされている。

本稿は、4機のM-3S型ロケットに用いられたSJ部およびこれに関連した地上設備について述べる。

2. SJ部概要

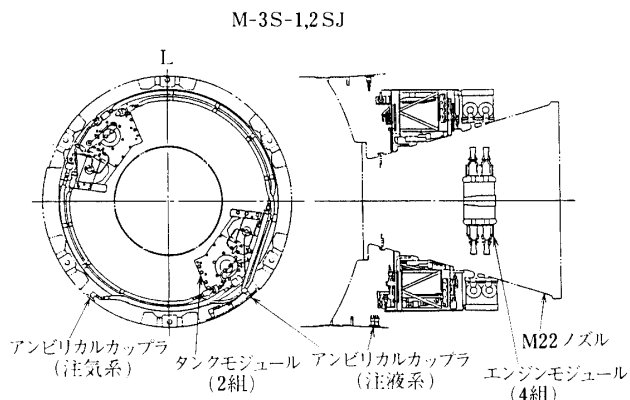
2.1 構造、構成

(1) M-3S-1, 2

SJ部は2組のタンクモジュール、4組のエンジンモジュール、アンビリカルカップラおよび各モジュール間の配管より構成され、これらは第1図のように配置されている。タンクモジュールおよびエンジンモジュールはM22ノズル部の取付アームに、アンビリカルカップラは1, 2段継手部に各々ボルトで固定されている。各モジュール間はフレキシブルホースで連結されており、管継手部にはセルフシール型のクイックロックカップラを用いている。これにより、各モジュールは容易に組付、取外しが出来る。

タンクモジュールは各々アルミ合金製のフレーム内にTi合金製(容量2.2l)のN₂タンク、SUS製(容量10l)のH₂O₂タンク、調圧弁および安全弁等を収めている。エンジンモジュールは各々4個の電磁弁、チャンバ、ノズルおよび1個のフィルタ内蔵のマニホールド

* 三菱重工業(株)長崎造船所



第1図 M-3 S SJ 配置

から成る。これらの系統を第2図に示す。4組のエンジンモジュールは全く同一形状、構成から成るが、2組のタンクモジュールについては圧力ピックアップ、逃気口を一方のモジュールにのみ取付けていること、およびモジュール間のフレキシブルホースの管継手の配置が異なっている。

以上のSJ部の構成、構造は基本的には従来のM-3C、M-3H等の実績を基にしており、一部構造の改善を除いては同一の構成、構造、寸法である。

(2) M-3S-3, 4

SJ部は性能向上を行うため従来の過酸化水素をヒドラジンに変更したので、タンクモジュール、スラスタモジュール、各配管および弁等の機器の構成配置はM-3S-1, 2用SJと同じである。これらの配置を第1図に示す。(尚3号機以降、従来のエンジン・モジュールの呼称をスラスタ・モジュールと改めた)

ヒドラジンは過酸化水素よりも貯蔵性能が格段に改善されるので、発射前日にタンクへの注液が可能になる。従って、液系の注液およびリターン並びに窒素ガス2次圧用アンピリカルカップリングは不要となり、それぞれフィル・アンド・ドレーンバルブ(注排液弁)に変更されている。配管系統を第2図に示す。

ヒドラジンへの変更に伴い、タンクのブラダ、バルブのシール等の材質の変更およびスラスタモジュールの材質と1部寸法の設計変更がなされている。これらの変更については次項で述べる。

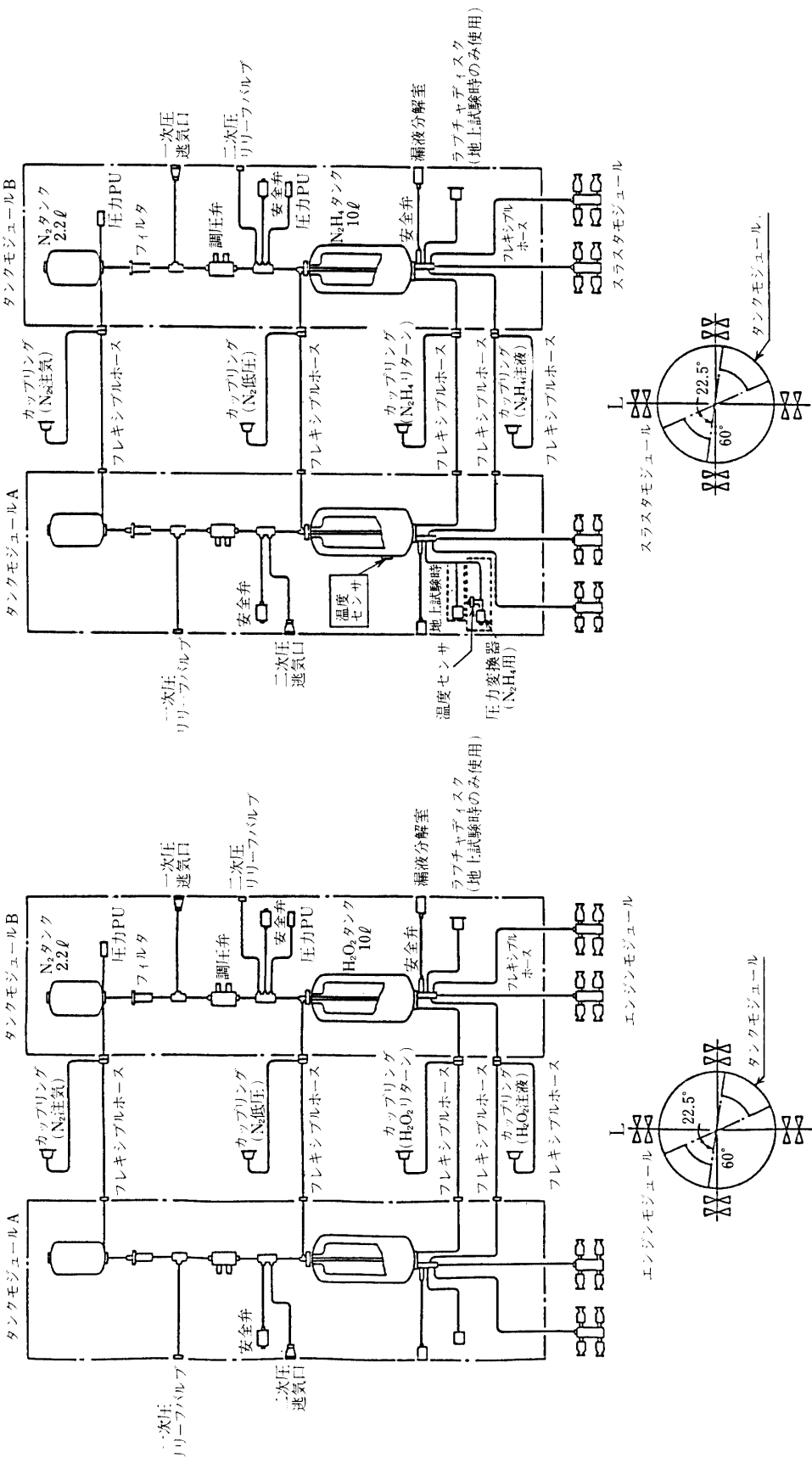
第1表にM-3C、M-3Hと比較して、構造、構成を示す。

2.2 性能

(1) M-3S-1, 2

エンジン1基の推力はM-3Hのものと同じ8kgを使用し、第3図のようにロール方向に4基×4モジュール計16基配置した。この方式は、電気部のロジックの組み方によって作動スラスタ数を変えられること、つまり無駄なエンジンの作動を止められること等の特徴があり、M-3Hと同様、ロール制御として使用するときは、前半は高推力モードとして

M-3S-3, 4 SJ



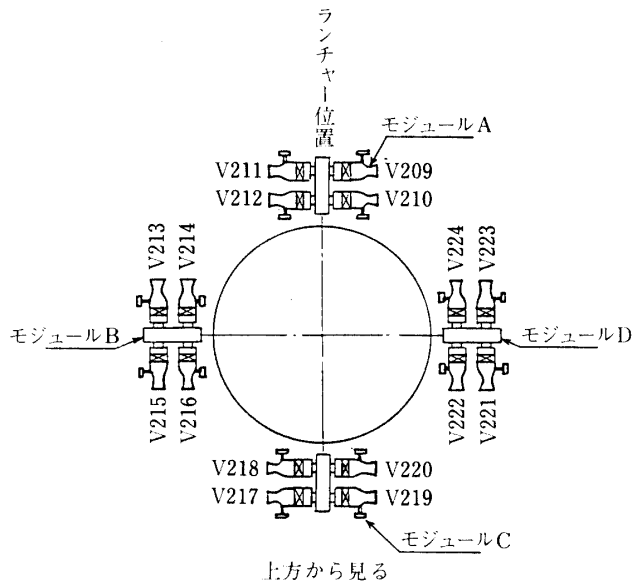
機首側からノズル側を見る

第2図 M-3S SJ配管系統図

機首側からノズル側を見る

第1表 M-3C, M-3H, M-3S SJ部の比較

No.	項目	M-3C	M-3H	M-3S-1, 2	M-3S-3, 4
1	装着位置および組付方式	B2ノズルまわりに2タンクモジュール, 4エンジンモジュールに分割して組付	同左	同左	同左
2	組付順序	M22モータにM22ノズルを組付けた後, SJ組付	同左	M22ノズルにSJを組付けた後, M22モータに組付	同左
3	ジェット配列	第3図参照	同左	同左	同左
4	燃料	過酸化水素	同左	同左	無水ヒドラジン
5	燃料注液方式	オーバーフロー方式	同左	同左	同左
6	燃料タンク	タンクはSUS, ブラダはポリエチレン 容積20l×1基/モジュール	同左	材質は同左 容積10l×1基/モジュール	タンクはSUS, ブラダはEPR(エチレン・プロピレン・ラバー) 容積10l×1基/モジュール
7	電磁弁	Sterer (P/N 47640-4)	Sterer (同左)	Sterer (同左)	Sterer (P/N 47640-2)
8	N ₂ タンク	材質はTi 容積4.4l×1基/モジュール	同左	材質は同左 容積2.2l×1基/モジュール	同左
9	配管	液系, 2次圧系はSUS, 1次圧系はCu, モジュール内はリジッド, モジュール間結合用にテフロンフレキシブルホースとクイックロックカップリング使用	同左	同左	液系, 2次圧系, 1次圧系全部SUS, モジュール内はリジッド, モジュール間結合用は同左
10	注気, 注液用アンビリカルカップラーおよび引抜方式	注気, 注液ともSymetrics, 注気, 注液ともN ₂ ガスアクチュエータによる自動離脱	同左	同左	発射前日注液となり, 2次圧, 注液ともアンビリカルなし, フィルアンドドレーンバルブ。1次圧注気系のみ同左
11	調和弁	デュアル型シート部ソフトタッチ	同左	同左	同左
12	燃料タンクの圧力, 温度地上監視	なし	なし	なし	前日注液後の地上監視のため, Aタンクモジュール液圧および液温センサ取付



第3図 エンジン配置図

8基(64 kg), 後半は低推力モードとして4基(32 kg)のスラスターが作動する。三軸制御時には各軸独立では4基(32 kg)を使用するが、ピッチ、ヨー、ロールの同時制御を行う場合は相反するエンジンは使用することがなく、2基が作動する。

搭載する過酸化水素の量は姿勢制御方式が確立されたことおよびM-3C, M-3Hにおける燃料消費量の実績が20~30% (8~12l) であることから、次の方針でM-3Hの場合の約半分の搭載量28 kg (20 l)とした。即ち

ア. ロール制御は2段目燃焼中全時間の40%作動するものとし、推力レベルは前半ハイモードの64 kg、後半ローモードの32 kgとする。

イ. 三軸制御の作動能力は3軸とも全制御時間の1/3 (57秒)の更に46% (全作動時間の15.3%)とし、推力は各々32 kgとする。

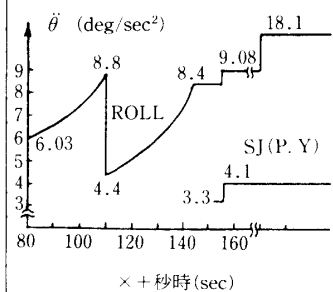
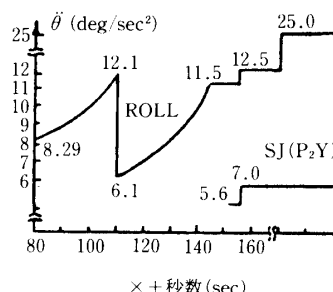
ウ. 0.5 rpsまでのスピンドルアップの能力をもつ

以上の性能をまとめて第2表に示す。

(2) M-3S-3, 4

ヒドラジンスラスター1基の推力は従来の過酸化水素スラスターの地上性能、即ち推力8 kg相当とし、真空推力11 kgである。スラスターの配置はM-3S-1, 2用と同じであり、基本的には変わっていない。過酸化水素に比べヒドラジンは分解ガス温度が高く、比推力は過酸化水素の1.5倍以上に改善される。従って、M-3S-1, 2とM-3S-3, 4のSJはどちらも同じ20ℓの燃料を有しているが、後者は重量的に少ない燃料で同等以上の制御能力即ち全推力を示している。M-3S-3, 4用SJ部の性能をM-3S-1, 2用SJ部と比較して第2表及び第3表に示す。

第2表 M-3S SJの性能諸元

項目		性能値		備考
		M-3S-1,2	M-3S-3,4	
重量	Pあり	約 141kg	約 132kg	
	Pなし	約 112kg	約 112kg	
慣性モーメント	RJ I _R	Pあり 310~112kg.m.s ²	Pあり 310~112kg.m.s ²	
	SJ I _R	Pなし 103kg.m.s ²	Pなし 103kg.m.s ²	
	I _{P,Y}	Pなし 1,510kg.m.s ²	Pなし 1,510kg.m.s ²	
モーメントアーム長	P.Y	3,340mm	3,340mm	
	R	510mm	510mm	
推力×時間 F・T	RJ	64kg(8kg×8ヶ)×31 ^s 32kg(8kg×4ヶ)×35 ^s	88kg(11kg×8ヶ)×31 ^s 44kg(11kg×4ヶ)×35 ^s	• M-3S-1,2 Isp 約100 ^s (地上) 約130 ^s (真空)
		計 1,300kg.s(40%作動)	計 1,700kg.s(40%作動)	
		P.Y 32kg(8kg×4ヶ)×57 ^s R 32kg(8kg×4ヶ)×57 ^s	P.Y 44kg(11kg×4ヶ)×57 ^s R 44kg(11kg×4ヶ)×57 ^s	
	SJ	計 580kg.s(40%作動)	計 1,150kg.s(40%作動)	総推力2,800kg.s (地上) 3,640kg.s (真空)
		0→0.5rps 650kg.s	0→0.5rps 968kg.s	
	SPIN			• M-3S-3,4 Isp 約190 ^s 以上 (真空)
	合 計	2,530kg.s	3,818kg.s	
	角加速度 $\ddot{\theta}$			総推力3,800kg.s (真空)
				
N ₂ 量	4.4l×135kg/cm ² (ノミナル)		4.4l×135kg/cm ² (ノミナル)	M-3C M-3H 8.8l
	H ₂ O ₂ 20l(28kg)		ヒドラジン(N ₂ H ₄) 20l(20kg)	M-3C M-3H 40l

第3表 M-3 S SJ性能比較表

項目	M-3 S-1, 2 SJ	M-3 S-3, 4 SJ
燃 料	過酸化水素(H_2O_2)	無水ヒドラジン(N_2H_4)
触 媒	PC-15	SHELL 405
推 力	8.0kg(地上)	11.0kg(真空)
燃 焼 壓 力	8.0kg/cm ² (真空)	7.5kg/cm ² (真空)
圧 力 比	112.1	112.1
ノズル開口比	11.12	11.12
比 推 力	約130秒(真空)	約190秒(真空)
燃 料 容 積	20l	20l
燃 料 重 量	27.6kg	20.0kg
全 推 力	3,640kg·s(真空)	3,818kg·s(真空)

3. SJ部の変更点

M-3 S SJ部には、前述のように従来と同じ過酸化水素SJと性能向上のための設計変更を行ったヒドラジンSJの2種類がある。ここではこれらの相違点およびM-3 HSJ部からの変更点について述べる。

3.1 M-3 S-1, 2 SJ部

(1) 燃料タンクおよびN₂タンクの変更

前述のように、必要な燃料は消費量の実績から、従来の半分で充分と考えられるに至ったため、燃料タンクおよびN₂タンクの容積をそれぞれ次のようにした。

M-3 H: 燃料タンク容積 40 l N₂タンク容積 8.8 l M-3 S: 燃料タンク容積 20 l

N₂タンク容積 4.4 l

(2) SJ部フレーム

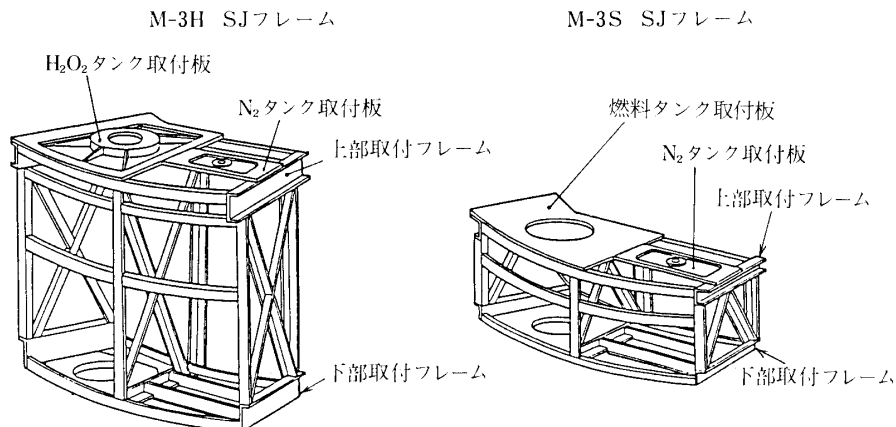
燃料タンクおよびN₂タンクが小さくなつたので、タンクモジュールの取付フレームの寸法を小さくした。主な変更はフレームの高さが57%に低くなつたことおよび上下取付板を支えるリンク構造を変更した点である。材料の変更はない。これを第4図に示す。

3.2 M-3 S-3, 4 SJ部

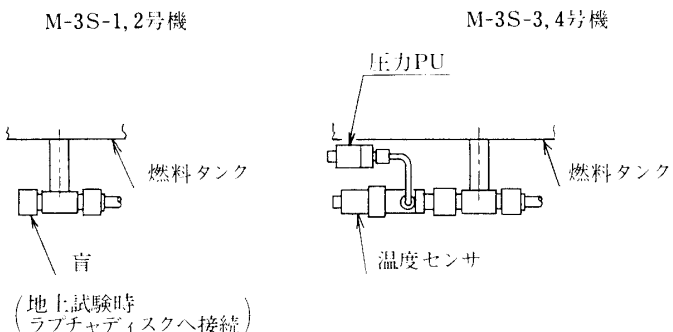
SJ部の構成、配置は、M-3 S-1, 2のSJ部と基本的に同じであるが、ヒドラジンに燃料を変更したことに伴つて、ヒドラジンに適合する材料への変更およびスラスタの設計変更がなされている。

(1) 燃料タンク

ヒドラジン化によりブラダ材料および各配管継手部Oリング等のシール部の材料変更が行われた。ブラダの材料はポリエチレンからエチレンプロピレンラバー(EPR)に、Oリ



第4図 SJ部フレーム構造

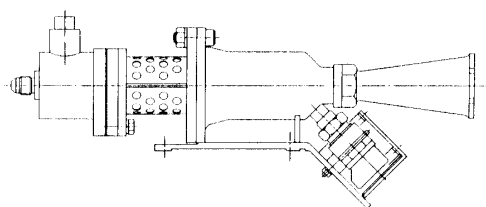


第5図 ヒドラジン分解地上監視用センサ取付

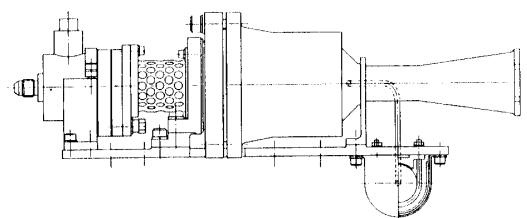
ング等のシール部も弗素ゴム(バイトン)からEPRに変更した。燃料タンクへの注排液はこの材料の変更による保存性の向上に伴い、発射前日に行うよう変更した。その安全性はEPRプラグ開発の際の長期保存試験によって確認されているが、注液後発射までの間地上安全監視を実施することとした。このためタンク部にヒドラジン液温度および圧力センサを取りつけた。すなわち、1, 2号機では盲蓋をしていたタンク出口ジョイント部のバーストダイヤフラム取付部にセンサ取付を追加した。これを第5図に示す。

(2) スラスタ

ヒドラジンスラスターは、昭和54年度からMS-T5/PLANET-A用リアクションコントロールシステム(RCS)用に開発を始め、S-520-3用SJ部(推力一基0.6kg)をまず完成させた。この技術をベースに推力11kg(真空中)のM用スラスター開発を行い、M-3S-3に初めて搭載した。第6図にこのスラスターの外観図を1, 2号機用エンジンと比較して示す。従来の過酸化水素スラスターとの主な違いは、分解ガスが高温のためスラスターチャンバーの材料を従来のSUSから耐熱材で加工性のよいコバルト基であるヘインズ合金に変更し、分

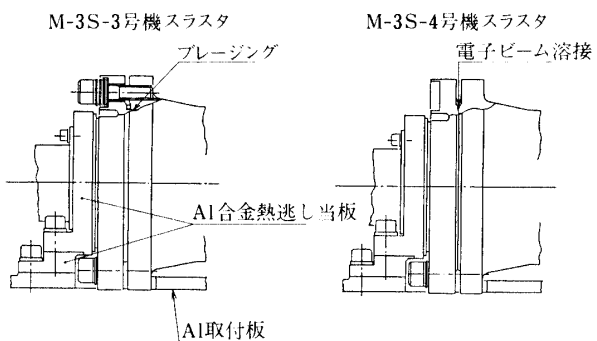


M-3S-1, 2 SJエンジン



M-3S-3, 4 SJスラスタ

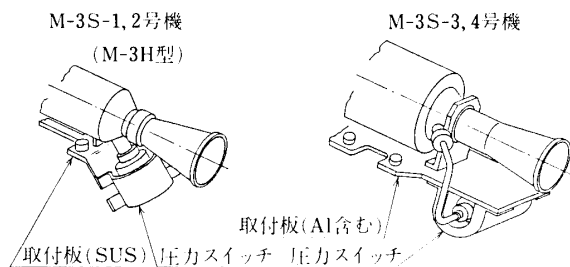
第6図 SJスラスタ外観図



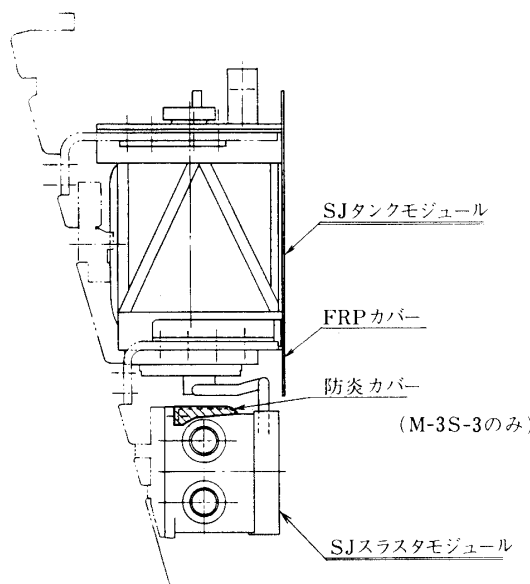
第7図 スラスタの溶接および取付構造概要

解触媒を従来の過酸化水素用 PC-15 からヒドラジン用シェル 405 に変更した点にある。スラスタの構造は大きく変わらないが従来のインジェクタとチャンバのボルト組立方式では高温によりシールが困難であるため、M-3S-3 用はブレージング溶接、M-3S-4 用は電子ビーム溶接 (EBW) とした。EBW にしたのは溶接施行時の熱を触媒に与えないためである。またインジェクタが高温になるのを少しでも防ぐため、インジェクタの熱が逃げ易い取付構造にした。3, 4 号機のインジェクタ付近を第 7 図に示す。

また圧力スイッチの圧力取出口に曲げ応力がかからないように圧力取出管を少し長くして柔軟性をもたせ、圧力スイッチの取付位置も変更した。このため、スラスタの取付板の変更を行った。この変更比較を第 8 図に示す。



第8図 圧力スイッチ取付の比較



第9図 スラスタモジュール防炎カバー

(3) スラスタモジュール

構造は1, 2号機と変わらないが、過酸化水素の場合にくらべスラスタチャンバおよびプロームガスが高温になるため、M-3S-3では機体側のフレーム内の機器に熱影響を与えないように防炎カバーを追加した。これを第9図に示す。なお3号機の飛翔結果から不必要と判断されたため、M-3S-4のSJではこのカバーは取外すこととした。

(4) 配管継手およびシール

ヒドラジンは打上前日注液となったため、N₂二次圧、ヒドラジンの注液およびリターンのアンビリカルカップリングがなくなり、注排液弁に変更された。またタンクモジュール間およびスラスタモジュールの配管接続部のクイックロックカップリングを初め、二次圧系、液系のバルブおよび接続部のシール材(Oリング材)をすべてEPRに変更した。

(5) 調圧弁

構造的にはOリングシール材料をEPRに変更した以外の変更はない。但し、調圧圧力の

設定値を従来の 16.0 kg/cm^2 から 16.9 pg/cm^2 に変更した。これはヒドラジンに変更する際供給側は耐ヒドラジン材への変更のみで、調圧のバネおよび安全弁の設定バネ等の寸法変更をしないという条件を設けたためである。この条件下でヒドラジンスラスタの燃焼安定を得るには、インジェクタを含む液側の差圧を大きくする必要があり、このため燃焼圧力を少し (8.0 kg/cm^2 から 7.5 kg/cm^2 に) 下げ、調圧設定値を上限 (16.9 kg/cm^2) まで上げて液側差圧をとったためである。

4. SJ 部の飛翔結果

ここでは M-3 S-1 から、M-3 S-4 までの飛翔結果およびそれに伴う改造経過について述べる。

4.1 飛翔結果概要

SJ 部に関する飛翔性能データとして得られるものは、従来より定形化されており、SJ 部の作動状況、燃料消費データ、作動トルクおよび窒素ガス 1 次圧、2 次圧データであるが、M-3 S-3, 4 のヒドラジン SJ では、次のように温度および圧力センサを追加した。

温度測定：スラスタ V 213 の 4 点

(チャンバ外壁、インジェクタフランジ、放熱板、電磁弁フランジ)

燃焼圧測定：4 組のスラスタ

(V 209, V 213, V 217, V 221 各 1 点)

これらのデータを第 4 表に示す。

SJ 部の作動は、機体のロールおよび姿勢の運動が、計画値に追従している (CN-E 報告参照) 事から正常であり、予定した制御トルクが得られたものと判断される。

4.2 改造経過

(1) M-3 S-1

すでに述べたように、燃料タンク、 N_2 タンクを小さくした以外は変更点はない。地上設備試験手順書等の一部変更があるがこれらは設備、検査の項で述べる。打上で特に不具合はなかった。

(2) M-3 S-2

M-3 S-1 からの変更箇所は特ない。組立オペレーション電波テスト (55.12.23) の X-4' 30" 「カップラ離脱」時に注液系カップラの引抜不良の不具合が発生した。原因は引抜装置の引抜軸のゆるみがあってストローク不足が発生したものであり、点検調査を実施して完全に引抜けることが確認された。

(注) M-3 S-3 ではヒドラジン SJ となり、前述のようにこのカップラは使わなくなるためこの問題への対策は実施していない。

(3) M-3 S-3

M 用ヒドラジン SJ 初号機であり、打上げまでのオペにおいて 2, 3 の不具合が発生した。これらについては以下に述べるような対策を行った。

(i) スラスタインジェクタからの噴射ガス洩漏

57 年 11 月 2, 3 日 KSC で行われた SJ 噴射試験においてスラスタチャンバとインジ

第4表 M-3S SJ飛翔性能実験データ

項目	時間	燃料消費計画	M-3S-1	M-3S-2	燃料消費計画	M-3S-3	M-3S-4
燃 料 消 費 デ タ	ロール制御(ハイホールド) X+85 ^s ↓ 116 ^s	5.66l ↓ 3.20l	31.3% ↓ 7.6%	51.5% ↓ 13.0%	5.72l ↓ 3.23l	12.4% ↓ 4.0%	17.8% ↓ 5.6%
	ロール制御(ローモード) X+116 ^s ↓ 151 ^s						
	3軸制御 X+151 ^s ↓ 231 ^s	5.99l ↓ 5.02l	49.3% ↓ 99.5%	51.0% ↓ 98.9%	6.05l ↓ 5.07l	36.2% ↓ 100.0%	46.4% ↓ 99.5%
	モードチェンジ X+231 ^s ↓ 242 ^s						
	計	19.87l	50.1%	57.1%	20.07l	40.4%	45.1%
燃料注液量			20 l	20 l		21.4l	21.2l
作動トルク	ロール角加速度 X+231 ^s 付近		24.5°/s ²	24.7°/s ²		26.1°/s ²	25.4°/s ²
	トルク X+231 ^s 付近	44.04kg.m (86.4kg×0.51m)	44.40kg.m (87.1kg×0.51m)		46.92kg.m (92kg×0.51m)	45.66kg.m (89.5kg×0.51m)	
窒素ガス	1次圧 X+ 85 ^s ↓ 248 ^s	131kg/cm ² ↓ 75kg/cm ²	135kg/cm ² ↓ 76kg/cm ²		134.7kg/cm ² ↓ 67.4kg/cm ²	154.6kg/cm ² ↓ 114.7kg/cm ²	
	2次圧 X+232 ^s (リスピン) 242 ^s	15kg/cm ² (14kg/cm ²)	15kg/cm ² (14kg/cm ²)		約16.7kg/cm ² (16.5 ~14kg/cm ²)	約16.0kg/cm ² (15kg/cm ²)	
燃焼温度	ロール制御後					260°C	500°C
	リファレンスチェンジ後					500°C	650°C
	リスピン後					790°C	830°C
燃焼圧	ロール制御時				5 ~ 6 kg/cm ²	5 ~ 6 kg/cm ²	
	リファレンスチェンジ時				7.0kg/cm ²	7.2kg/cm ²	
	リスピン時				6.4kg/cm ²	7.6kg/cm ²	
SJ部作動概要		(1) 機体の制御運動は目標に対し、よく追従している 作動状況良好	(1) 同左		(1) 機体の制御運動は目標によく追従している 作動良好 (2) 2次圧の変動が少し大きい。特にリファレンスチェンジとリスピン時の乱れが大 (3) スラスタチャンバ(V2 13)の温度からほぼ正常 (4) リスピン時の燃焼圧が低い。2次圧が低いためである	(1) 同左 (2) 同左。但しリスピンの圧力波形は少し下っているが安定形である (3) 少し高目に出てる (4) 圧力は正常である	

エクタの組立式のフランジ部から分解ガスの洩漏が生じた。この噴射試験はヒドラジン SJ 初号機であるため、片側のタンクモジュールとスラスタ 1 モジュールを KS ドーム内に仮設し、KSC におけるヒドラジン注液手順のリハーサル、実機配管の抵抗データ取得およびフライト時のスラスタ作動を模擬したシミュレーション試験を目的として実施したものである。この分解ガスの洩漏は、分解ガス温度が 900°C と過酸化水素の分解ガス温度 (600~700°C) に較べ一段と高いために、フランジシール部が熱変形を生じたためと推定された。この対策としてフランジシールをブレージング溶接とし一体化した。対策後の燃焼試験では洩漏は皆無であった。(第 7 図参照)

(ii) 電磁弁

フライトオペレーションにおける CN チェック後の電磁弁リークテストにおいて、V 209 電磁弁から多量の N₂ ガス漏れが発生した。予備品と交換して発射した。

洩れの原因は弁不良と推定されたので、メーカー(米国 STERER 社)と折衝し対策を立案することにした。また取扱い時防塵に一層注意することにした。メーカーにおける調査報告からはこの時点では明確な原因は不明であった。この現象は続く M-3 S-4 でも発生したので、その項で述べる。

(iii) スラスタ作動アンサ用圧力スイッチ

宇宙研における総合噛み合わせにおいて、圧力スイッチ S 221 接点のアース短絡により SJ ドライバを一部焼損した。また KSC での総合オペの際圧力スイッチ S 214 が圧力除去後も ON から OFF へ復帰しない不具合があった。

これらの原因是輸送時に導圧管 (SUS パイプ) が曲がり、このためスイッチリード線端子部がスイッチカバー内壁に当たって擦られ、ポッティングが破れて、端子がカバーと接触していたためと判明した。

この対策として輸送時に外力をスイッチに与えないよう専用プロテクタを装着すると共に、輸送後はスラスタモジュール単体チェックを必ず実施するよう手順書の変更を行った。

(4) M-3 S-4

M-3 S-3 からの改造は次の通りであった。

(i) スラスタ

分解ガス洩漏対策として、M-3 S-3 ではインジェクタフランジシール部をブレージング溶接としたがブレージングは高温用で、1040°C で行うため、ヒドラジン分解触媒へ悪い影響を与える恐れが考えられたため、4 号機では熱影響の少ない電子ビーム溶接とした。(第 7 図参照)

電子ビームの熱影響は予想通り少なく好結果が得られた。従って今後のスラスタは、清浄度管理されたクリーンルームで組立を行い、電子ビーム溶接とし、従来の組立式の名残りであるフランジ部はなくすよう設計変更を行うこととした。

(ii) 電磁弁

総合噛み合わせのスラスタモジュール気密チェックにおいて、M-3 S-3 のときと同様、電磁弁から N₂ ガス漏れが発生した。この原因として、エンジンモジュールの気密チ

エック時の N_2 ガス加圧の手順に不具合が考えられた。即ち4個のスラスタの気密試験を順次実施する際チェック済みのスラスタチャンバの圧力が次のスラスタへと電磁弁を逆流して供給される現象が短い時間ではあるが発生する。このためスラスタベッドの触媒の粉が僅かに電磁弁のシート部まで運ばれ、シート部に噛み込みを生じる。また別の原因として、メーカーへの発注仕様規格に対してメーカーの出荷検査の規格が非常に外れた甘いチェックで出荷されていた事実が判明した。この結果洩れた電磁弁は、弁本体の仕上げが良好でないにもかかわらず、出荷検査をパスしていたことが判明した。これら電磁弁については以下の処置を行った。

ア. 洩れた電磁弁は分解手入れし、シート部はスリ合わせて、規定の気密を確認して復旧した。この洩れ規格は N_2 ガスと液(実液の代わりに水)との洩れの相関についての基礎テストデータから制定した。

イ. エンジンモジュールの気密試験チェック手順を各スラスタ気密テスト毎に確実にノズル下流から減圧して電磁弁へ逆流しないように変更した。

以上のやり方で、以後打上までのオペ、ライト共 N_2 ガス洩れはなくすことが出来た。また次期 SJ 用電磁弁からはメーカーの出荷試験規格の変更を、変更承認申請に基き実施している。

5. 検査・試験

M-3 S SJ 部の製作から打上げまでの一連の検査および試験は、第10図～第13図に示す通りである。M-3 S-1, 2 用 SJ は過酸化水素 SJ であり一部手順の変更を除き M-3 H 用 SJ と基本的に同じである。

ヒドラジン SJ は、ヒドラジンの貯蔵必向上から過酸化水素 SJ よりは工場出荷後の手順が簡素化される計画であった。しかし、M-3 S-3, 4 用 SJ 部で実施した検査試験手順は、第12図、第13図に示される通り、従来より却って複雑になっている。これは、ヒドラジン SJ が初号、2号機であり、KSC でヒドラジンを大量に扱うことの経験も初めてであったため慎重な検査・試験手順を踏んだためである。

(注) 計画通り検査・試験の簡素化が実現したのは、ヒドラジン SJ としては4号機にあたる M-3 S II-2 からである。M-3 H の SJ で今後の改良点として指摘されていた点[2]がここで達成された。

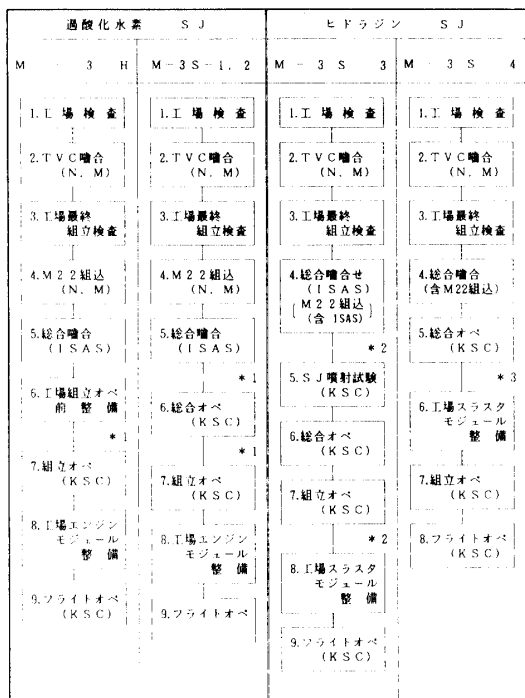
これらの主なものについて概要を述べる。

5.1 M-3 S-1, 2 (第10図、11図参照)

M-3 S-1, 2 用 SJ 部は過酸化水素 SJ として最終機種となる。検査、試験手順も M-3 H 用 SJ 部でほぼ確立されたものを踏襲している。M-3 H との主な違いは次の2点である。

(i) 従来宇宙研での総合噛合試験と KSC での総合オペの間に工場で行っていた組立オペ前整備(次項参照)を省略した。この理由は、主な試験であった H_2O_2 貯蔵試験を上述「3. 工場最終組立検査」で実施するように繰り上げ、工場出荷後の輸送の動きを出来るだけ少なくするためである。

(ii) 従来の「組立オペレーション」から CN 系試験を独立させこれを「総合オペレー

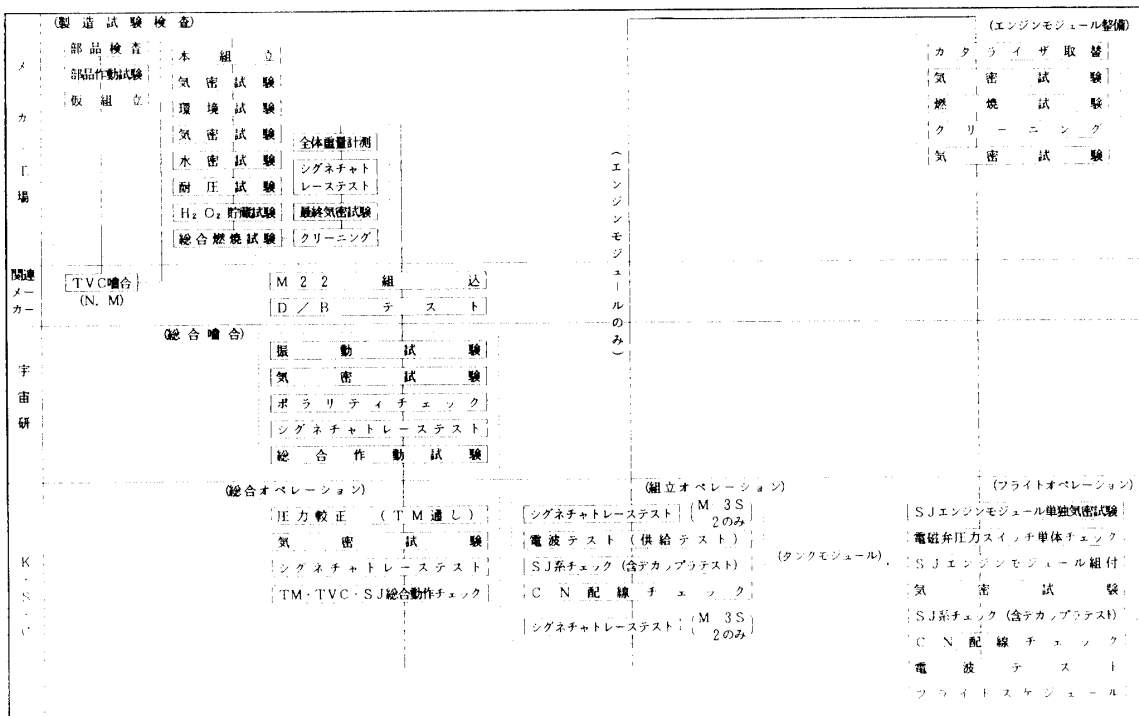


* 1 M - 3 S - 1, 2 では2分される

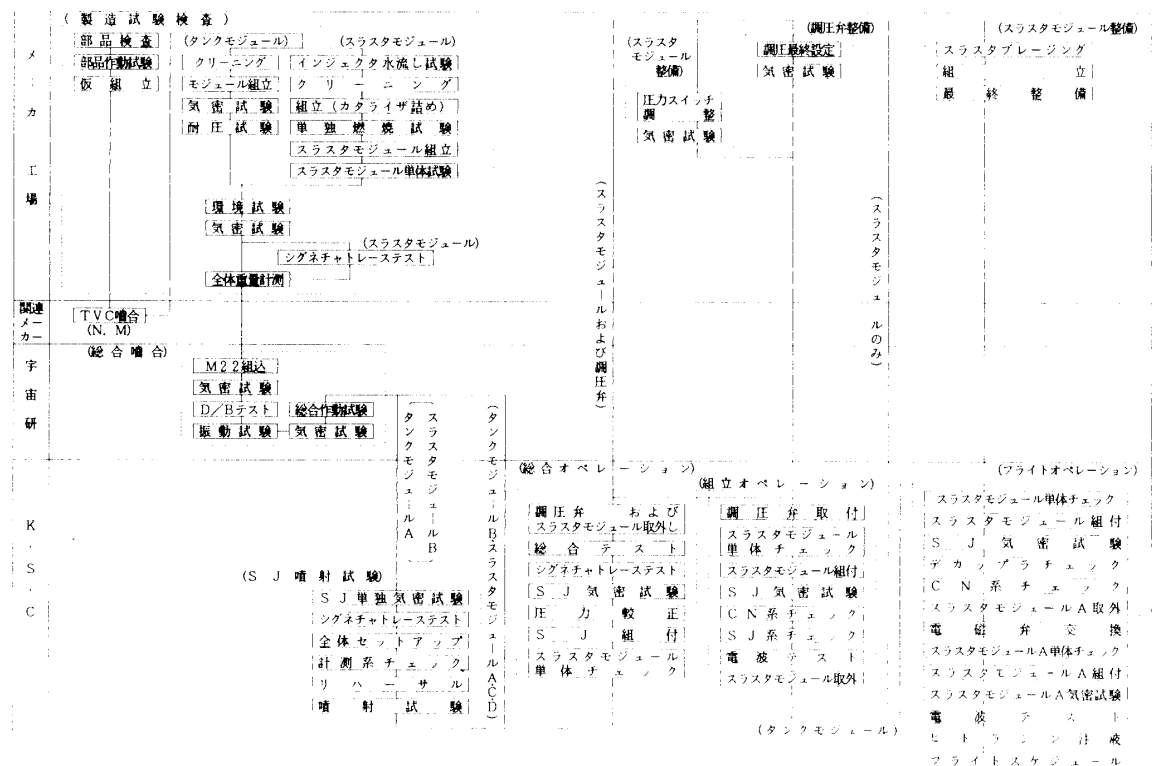
* 2 M - 3 S - 3 固有の手順

* 3 M - 3 S - 4 固有の手順

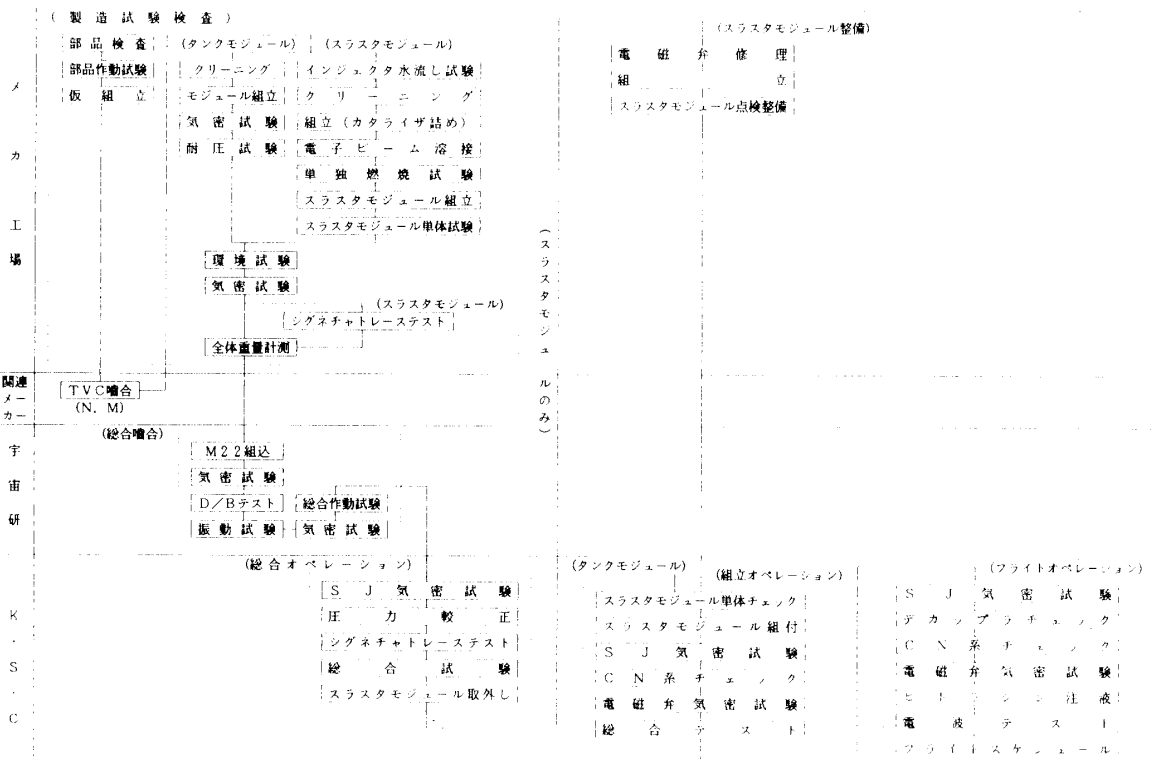
第10図 検査試験フロー概要比較



第11図 M-3S-1, 2 SJ 部検査試験フローチャート



第12図 M-3 S-3 SJ部検査試験フローチャート



第13図 M-3 S-4 SJ部検査試験フローチャート

ション」とし、Mロケット系試験を「組立オペレーション」と、2つに分けたが、作業項目は基本的に変わっていない。前項で述べたように、工場での「工場組立オペ前整備」がなくなったので、SJ組付とこれに伴う気密等の試験が省略され、作業項目が少なくなっている。

5.2 M-3 S-3, 4

M-3 S-3用SJ部の検査、試験は、大型のヒドラジンSJとして初号機であり、スラスタの信頼性確認および調圧データ取得のための「地上噴射試験」がKSCでなされ、その結果スラスタの改良の必要性が生じた事もあって、検査、試験フローが多少複雑になっている。M-3 S-4では地上噴射試験が省略されている。

これらの変化を前出の第10図に示した。

(1) M-3 S-3(第10, 12図参照)

M-3 S-1, 2と比べると、M22組込(N.M)と総合噛合(ISAS)とが一緒になり「4. 総合噛合せ(ISAS)」となった。また、ヒドラジンスラスタの地上噴射試験が追加されている。この試験でスラスタの不具合が発生したので本号機より行わない予定であった「工場スラスタモジュール整備」をスラスタの改良を兼ねて実施した。

この外従来と比べ変わっているのは、「3. 工場最終組立検査」の内容であり、ヒドラジンに対する清浄度管理を厳しくし、検査判定の定量化等検査規格の変更を行ったため検査項目が増加している。また、Stererの電磁弁も前述の洩れ等のトラブルがあり、更に上述のスラスタ改良等を行ったので、「7. 組立オペ」「9. フライトオペ」の手順にこれら対策の確認検査が加わり、手順項目が増加している。

(2) M-3 S-4(第10, 13図参照)

M-3 S-3の「5. SJ噴射試験」は省略された。「8. 工場スラスタモジュール整備」は、M-3 S-4では「6. 工場スラスタモジュール整備」と名称は変わっていないが検査の内容は違っており、これらは皆、それぞれ各号機のトラブル対策手順である。これらのトラブルは対策が行われ、その効果が認められたので、今後のヒドラジンSJでは、大きな設計変更がない限り、第10図の*2, *3の手順はなくなり、すっきりした検査、試験フローになることが期待出来る。また、「3. 工場最終組立、検査」は「2. TVC 噬合(N.M)」の前に出来事が更に理想的なフローとなる。これは、各社の生産工程の関係で現在では順序の変更が困難であるが、是正が望ましい。

6. 地上支援設備

M-3 Sの地上支援設備は、M-3 H用からM-3 S-1, 2 SJ用への変更と、M-3 S-3, 4のヒドラジンSJ用への変更とに分けられる。

6.1 M-3 S-1, 2用地上設備

M-3 H型

SJ部への燃料(H₂O₂)供給は、供給車方式により実施していたが、M-3 S-1からはこれを固定式に変更した。これは従来の供給方式に比べ次の利点がある。

(i) 供給装置の移動がなく、構成品の損傷がない。

第5表 固定式燃料(H_2O_2)供給装置構成

No.	装 置 項 目	数 量	設 置 場 所 等
1	H_2O_2 供 給 装 置	1 式	M台地, 固定式 H_2O_2 供給シェルタ (以降シェルタと呼ぶ) 内
2	M整備塔背面小屋内装置	1 式	M 整備搭 1 階外側背面
3	CBボックス	1 式	M 整備塔 6 階
4	マニホールド	1 式	ランチャーム上
5	引抜装置	1 式	ランチャーム上
6	H_2O_2 管 制 盤	1 式	M 管制室内
7	チェックアウト盤	1 式	シェルタ内
8	配 管	1 式	シェルタと M 整備塔背面小屋間の外部, および整備塔内並びにランチャーム上引抜装置までの配管 H_2O_2 管制盤とチェックアウトおよび CB ボックス間の配線で KE 班のものを利用

- (ii) システムを簡素化し, 信頼性を向上させる。
- (iii) 機器の配置を合理化し, メンテナンスをやり易くする。
- (iv) 作業の簡易化に伴ない, タイムスケジュールの時間短縮となる。
 - ・電気関係の当日配線とチェックを省略する。
 - ・燃料を運搬タンクから直接 SJ 部へ供給する方式とし, 一旦供給装置のタンクへの詰替を省略する。
 - ・CB (コネクション・ボックス) からマニホールド間の配管を前日に行い, 当日配管を省略する。

固定式燃料供給装置の構成を第5表に, 配置を第14図に示す。

この装置の主な機能を第6表に示す。

6.1.1 H_2O_2 供給装置

H_2O_2 供給装置シェルタ内の配置を, 第15図に示す。

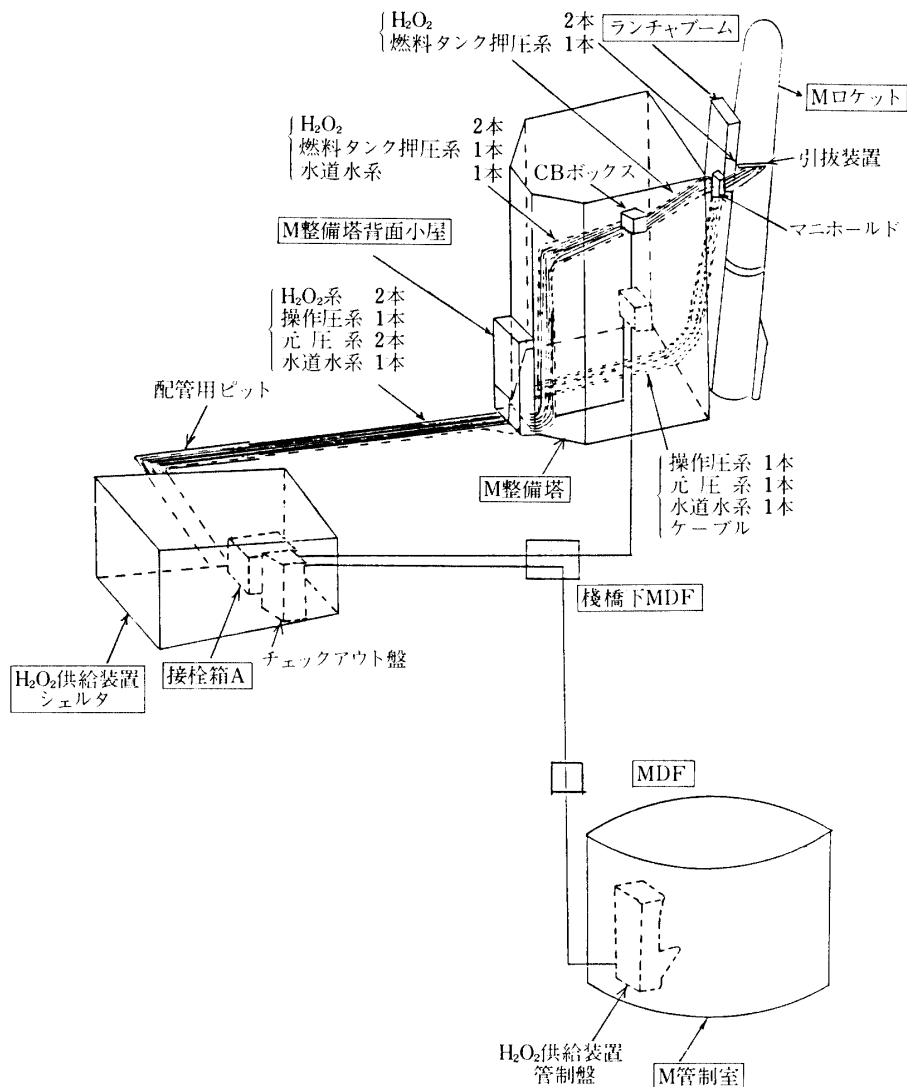
(1) H_2O_2 タンク

輸送用タンクをそのまま使用する。配管洗浄時には洗浄用蒸留水を貯蔵する。容量変化を重量計にて, また, H_2O_2 の異常分解の有無を測温抵抗体により監視する。

容積 70ℓ (H_2O_2 100 kg)

(2) ドレンタンク

SJ 燃料タンクからオーバーフローした H_2O_2 および洗浄の際使用済みの蒸留水を貯蔵する。容量変化を差圧式液面計により, また H_2O_2 異常分解の有無を測温抵抗体により監視する。

第14図 固定式 H_2O_2 供給装置配置図

- ・容積 150ℓ

(3) 蒸留水タンク

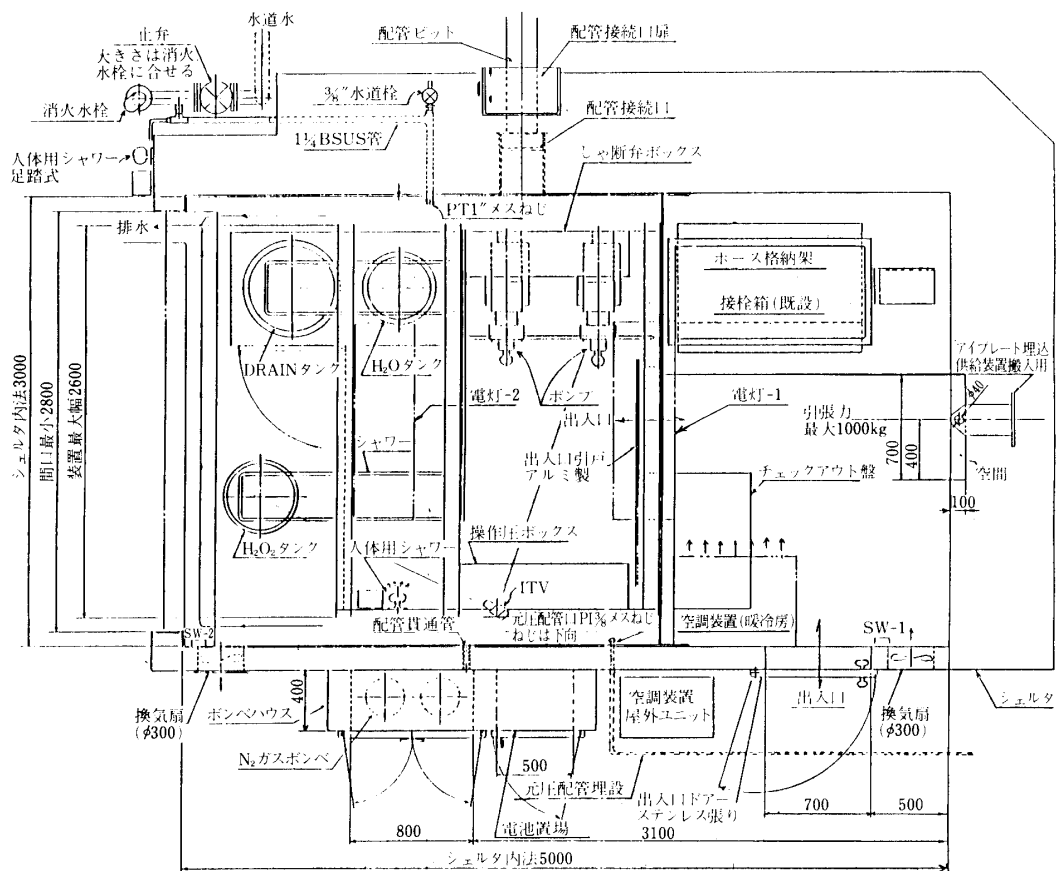
配管系洗浄用蒸留水を貯蔵する。タンク圧力を圧力変換器、容量を差圧式液面計により監視する。

- ・容積 80ℓ

(4) ポンプ

H_2O_2 供給用のダイヤフラム式ポンプで、常備と予備の2組からなる。

- ・最大吐出圧 15 kg/cm²
- ・供給流量 5ℓ/min

第15図 H₂O₂供給装置シェルタ内配置図

(5) 遮断弁ボックス

H₂O₂系および水道水系を備える。H₂O₂系は従来N₂操作圧によるニューマチック式の遮断弁を用いていたが、今回、CBボックスを除いて電磁弁による開閉に変更した。本ボックス内にH₂O₂流量測定用タービン式流量計およびポンプ吐出圧測定用圧力変換器を設置した。水道水系はシャワー用である。

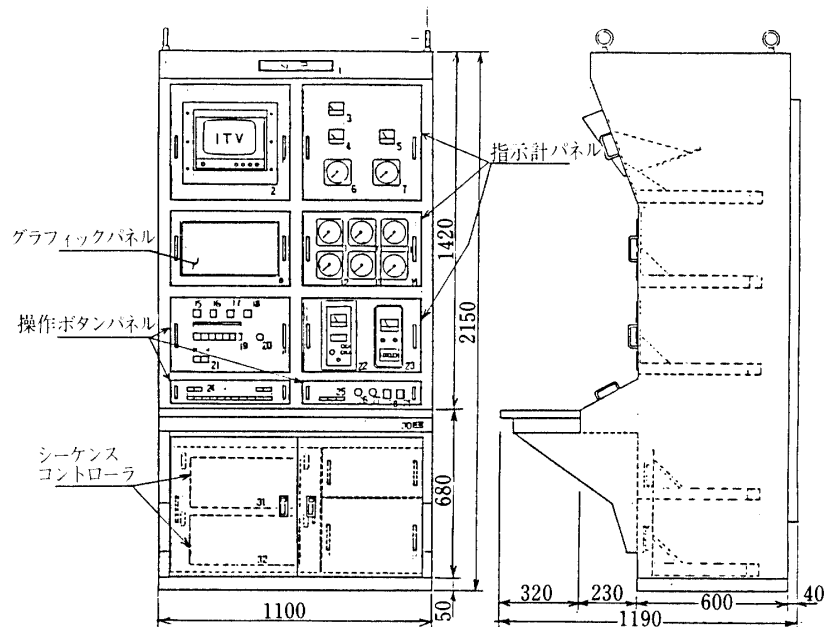
(6) 操作圧ボックス

窒素ガスの元圧から操作圧を作る装置で、調圧弁および圧力変換器からなる。

- ・元圧 150 kg/cm²
- ・各弁操作圧 15 kg/cm²
- ・蒸留水タンク加圧 5 kg/cm²
- ・ポンプパンパ加圧 3 kg/cm²

(7) 緊急時シャワー

人体用、タンク用および遮断弁ボックス用の3種、3箇所に設け、水道水を散水する。

第16図 H_2O_2 供給装置管制盤外観図

(8) ITV

H_2O_2 供給装置のシェルタ内の状況 (H_2O_2 の洩れ等) を監視する。

(9) 配管接続口

シェルタから外部への配管部の接続を行うカップリング機能をもつ。

6.1.2 M整備塔背面小屋内装置

M整備塔が回転するため、液系および窒素ガス系地上配管と整備塔内配管とは脱着方式とした。このためのカップリング機能を有し、また本装置に於いて整備塔6階のCBボックスへ行く配管とランチャブームを経由する N_2 ガスの1次圧(150 kg/cm^2)、バルブ操作圧(15 kg/cm^2)配管との分岐を行っている。

6.1.3 CBボックス

H_2O_2 系、燃料タンク押圧(圧力 2.5 kg/cm^2)系、弁の操作ガス(圧力 15 kg/cm^2)系およびシャワー用水道系からなっている。 H_2O_2 系には遮断弁を設ける。また H_2O_2 用歪式流量計を備える。燃料タンク押圧系は 15 kg/cm^2 の操作ガスから減圧して作る調圧弁を有し、各圧力は圧力変換器を設けて監視を行う。シャワーは緊急用である。

6.1.4 ランチャブーム上マニホールド

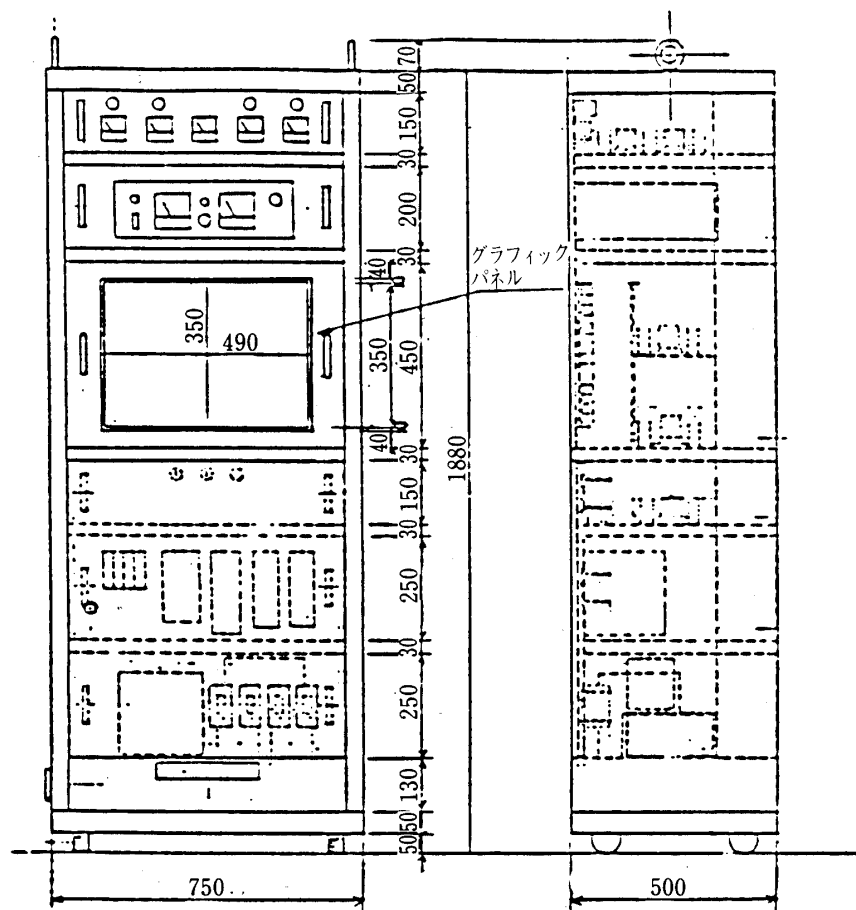
CBボックス経由の配管とランチャブーム経由の窒素ガス配管を引抜装置へ導くため、このマニホールドで一旦まとめる。マニホールドと各配管はフレヤ式ネジナット固定である。窒素ガス系はここにフィルタを設けている。

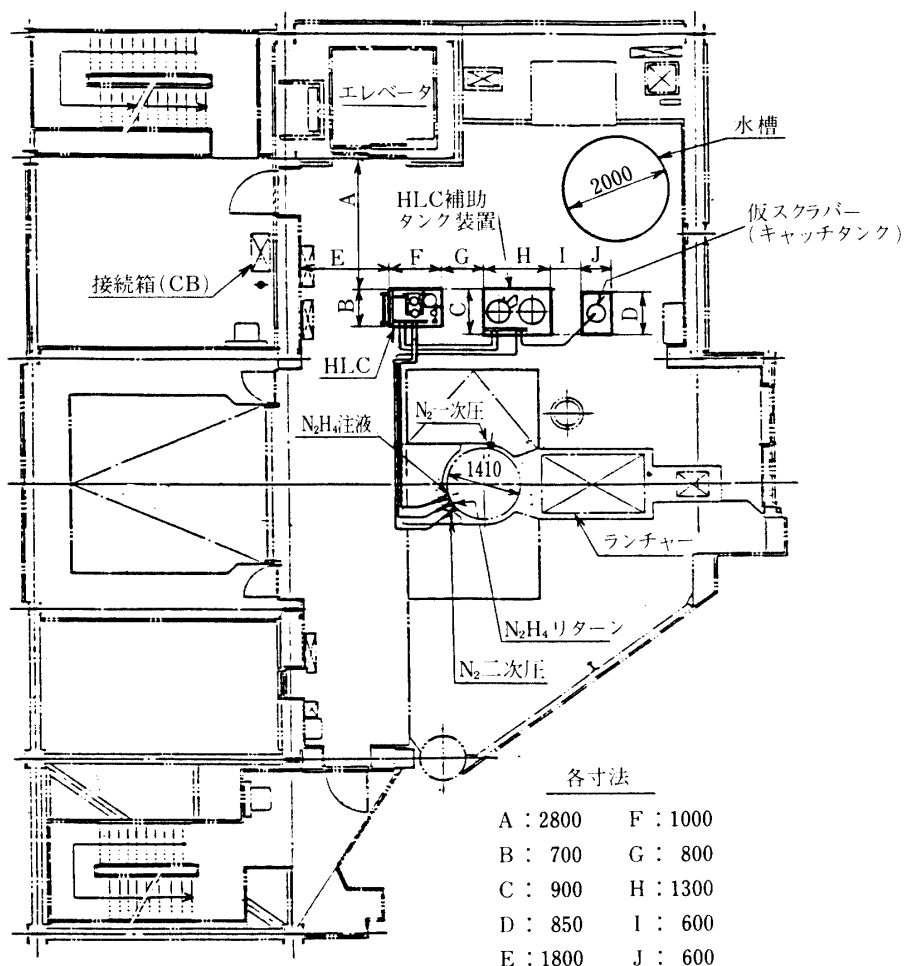
6.1.5 引抜装置

ランチャブーム上の引抜アームに設け、SJ側のアンビリカルカップラおよびこのカップ

第6表 H_2O_2 供給装置の主な機能

No.	主な機能	内 容
1	注 液 操 作	発射前に, SJ, H_2O_2 タンクへ H_2O_2 を供給する
2	配管内洗浄操作	発射後に H_2O_2 供給系配管すべてを洗浄する
3	排 液 操 作	発射中止時に, SJ, H_2O_2 タンクから H_2O_2 を排液する
4	緊 急 時 操 作	H_2O_2 の異常分解に対し, 散水等の処置を行う
5	監 視	次の各項目の監視を行う (1) 電圧 } 管制盤 (2) 電流 } (3) H_2O_2 液温度 } (4) H_2O_2 液面位 } シェルタ内 (5) H_2O_2 タンク重量 } (6) 操作圧, ポンプ吐出圧, ブラダ押圧 (シェルタ, CB ボックス) (7) ポンプ吐出 (シェルタ内) および SJ への H_2O_2 供給流量 (CB ボックス内)

第17図 H_2O_2 供給装置チェックアウト盤外観図



第18図 M整備塔6階SJ

ラを外す窒素ガスピストンの4組のバルブを有する引抜装置であり、これらは H_2O_2 用2組、 N_2 1次圧、 N_2 の燃料タンク加圧各1組からなる。

6.1.6 H_2O_2 供給装置管制盤

M台地地下管制室に設置され、Mロケット発射前後の H_2O_2 注液にかかる全ての操作と必要な監視を行う。これらを前述の第6表に示す。特に H_2O_2 異常分解等の緊急時に備えて、以下の操作が出来るようになっている。

(1) 遮断弁ボックスの異常

遮断弁ボックス内、タンク、ポンプへのシャワーの散水

(2) H_2O_2 タンクの異常

(バイパス路)

(3) ドレンタンクの異常

第 7 表 配管概要

No.	配 管	数量	内 容
1	H ₂ O ₂ 注液系	4 式	(1) シェルタ, 背面小屋間 1式 (2) 背面小屋, CB ボックス間 1式 (3) CB ボックス, マニホールド間 1式 (4) マニホールド, 引抜装置間 1式 何れもテフロンホース SR 500-10
2	H ₂ O ₂ リターン系	4 式	上記と同じ
3	窒素ガス 1 次圧系	4 式	(1) シェルタ, 背面小屋間 2式 (背面小屋以降 1式は TVC 用) (2) 背面小屋, マニホールド間 1式 (3) マニホールド, 引抜装置間 1式 何れもシンフレックスホース 3130-04
4	窒素ガス 2 次圧系	8 式	(1) シェルタ, 背面小屋間 1式 (2) 背面小屋, マニホールド間 1式 (3) 背面小屋, CB ボックス間 1式 (4) CB ボックス, マニホールド間 1式 (5) マニホールド, 引抜装置間 4式 何れもシンフレックスホース 3130-04
5	水道水系	3 次	(1) シェルタ, 背面小屋間 1式 (2) 背面小屋, マニホールド間 1式 (3) 背面小屋, CB ボックス間 1式 何れもシンフレックスホース 3130-04 シャワー用はビニールホースである。

(1) の作動およびドレンタンクへの注水

(4) CB ボックスの異常

CB ボックス内へのシャワーの散水

(5) 機体 SJ の異常

シャワーによる散水および H₂O₂ タンクからリターン系への H₂O₂ の排出

各配管の主な弁の状況は、管制盤グラフィックパネル上のランプ表示で確認出来る。停電時には緊急操作だけ行なえるようになっている。第 16 図に管制盤の外観図を示す。

6.1.7 チェックアウト盤

H₂O₂ 供給装置シェルタ内に設置し、メンテナンスのため、各電磁弁、ポンプの単独操作が出来る操作盤である。これらの操作はグラフィックパネル上のランプ付押しボタンにより行なうことが出来、ポンプ以外は停電時でも操作可能である。また、各種センサ用アンプ類を内蔵している。この外観図を第 17 図に示す。

6.1.8 配 管

供給装置シェルタから引抜装置に至る地上配管系の概要は第 7 表に示す通りである。

第8表 主要ヒドラジン地上支援設備

(注) ○印が使用場所を示す

主要装置	使用場所 第一火薬庫	KS 台地	SJ 小屋	M 整備塔		記 事
				1 階	6 階	
HLC 等の N_2H_4 注排 液及び後処 理等	KSC 噴 射試験	GN ₂ 供給 源	ホットガ ス発生	SJ への 注排液 N_2 注気		
1. 注排液装置						
(1)簡易スクラバ	○	○		○		S用既存設備
(2)局所排気装置	○			○		"
(3)GN ₂ 供給装置	○			○		"
(4)輸送タンク	○			○		"
(5)キャッチタンク	○			○		"
(6)HLC 装置	○	○		○		"
(7)HLC 補助 タンク装置	○	○		○		M用新設
(8)ダミータンク				○		テストスタン ド用流用
2. 注気装置						
(1)操作圧ボックス			○			S用既存設備
(2)M 整備塔配管		○	○	○		M用新設
3. ホットガス装置				○		S用既存設備
4. 保温装置					○	ランチャブー ム上に設置 M用新設
5. 排気処理装置	○					M用新設
6. SJ噴射試験架 台装置	○					M用新設
備 考	M-3S-3, 4SJ スラ スタ地上 噴射テス トに使用					

6.2 M-3S-3, 4 SJ 用地上設備

M-3S-3, 4 用 SJ 装置は、すでに述べたように燃料が H_2O_2 からヒドラジン (N_2H_2) に変更になったが、種々の制約から地上支援設備のうち、ヒドラジンの注排液に関しては S-520 用 SJ のヒドラジン供給装置 HLC (Hydrazine Loading Cart) を利用する簡易方式とした。この HLC は観測ロケット用で、容量が小さいため、HLC 補動タンク装置を新設し

た。

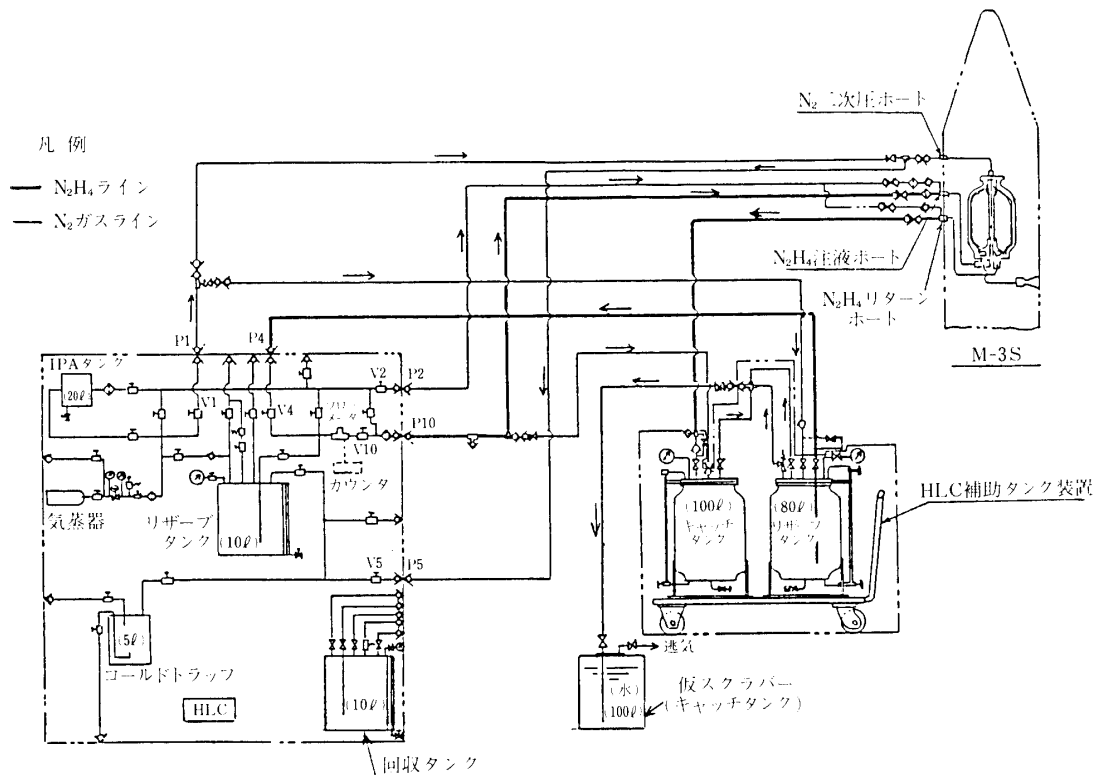
またヒドラジンの凍結防止のため保温が必要になり、新たに保温装置およびホットガス装置等が追加された。

ここではこれらについて概要を述べる、主要設備と使用場所を第8表に示す。

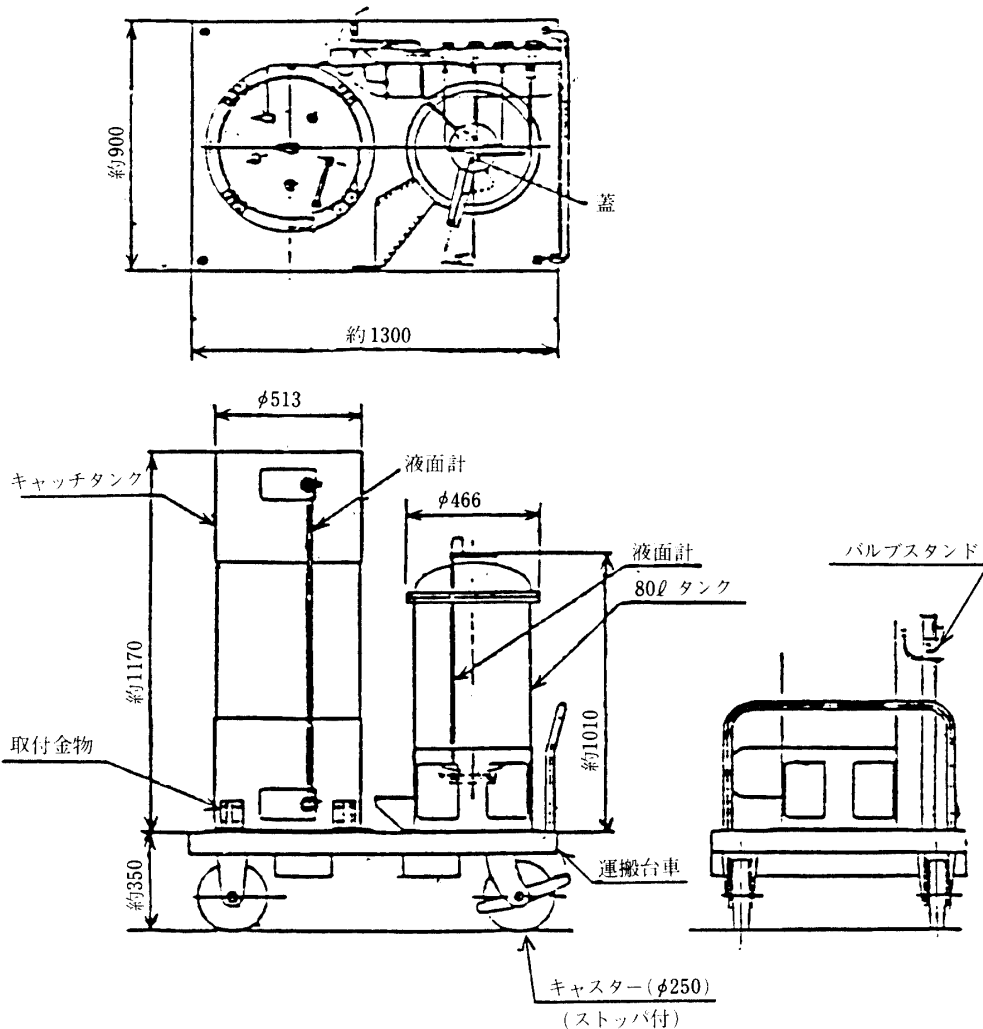
6.2.1 注排液装置

この装置は、ヒドラジンを輸送タンクから受け一時保存し、SJの燃料タンクに注液するための数種の支援装置からなる。輸送タンクから注排液装置へのヒドラジンの移動作業は、第一火薬庫の仮設作業場で行い、SJへの注液はこれらの支援装置をM整備塔6階に搬入して行った。M整備塔6階のSJ注液装置の配管系統を第18図に示す。注排液装置のサズシステムについての詳細は観測ロケットS-520-3 SJ地上支援装置〔3〕に述べられているので省略し、M用として新しく製作したHLC補助タンク装置の概要についてのみ記す。この装置はリザーブタンク、キャッチタンク、台車および配管、バルブ類からなる可搬式であり、主な性能は次の通りである。

- | | | |
|--------------|--------|------------------------|
| (i) リザーブタンク | 容量 | 80ℓ |
| | 最高使用圧力 | 5.0 kg/cm ² |
| (ii) キャッチタンク | 容量 | 100ℓ |
| | 最高使用圧力 | 1.3 kg/cm ² |



第18図 ヒドラジン注液装置配管系統図



第19図 HLC補助タンク装置

(iii) 台車 1,300 mm(長さ) × 900 mm(巾) × 1,520 mm(高さ), この概要を第19図に示す。

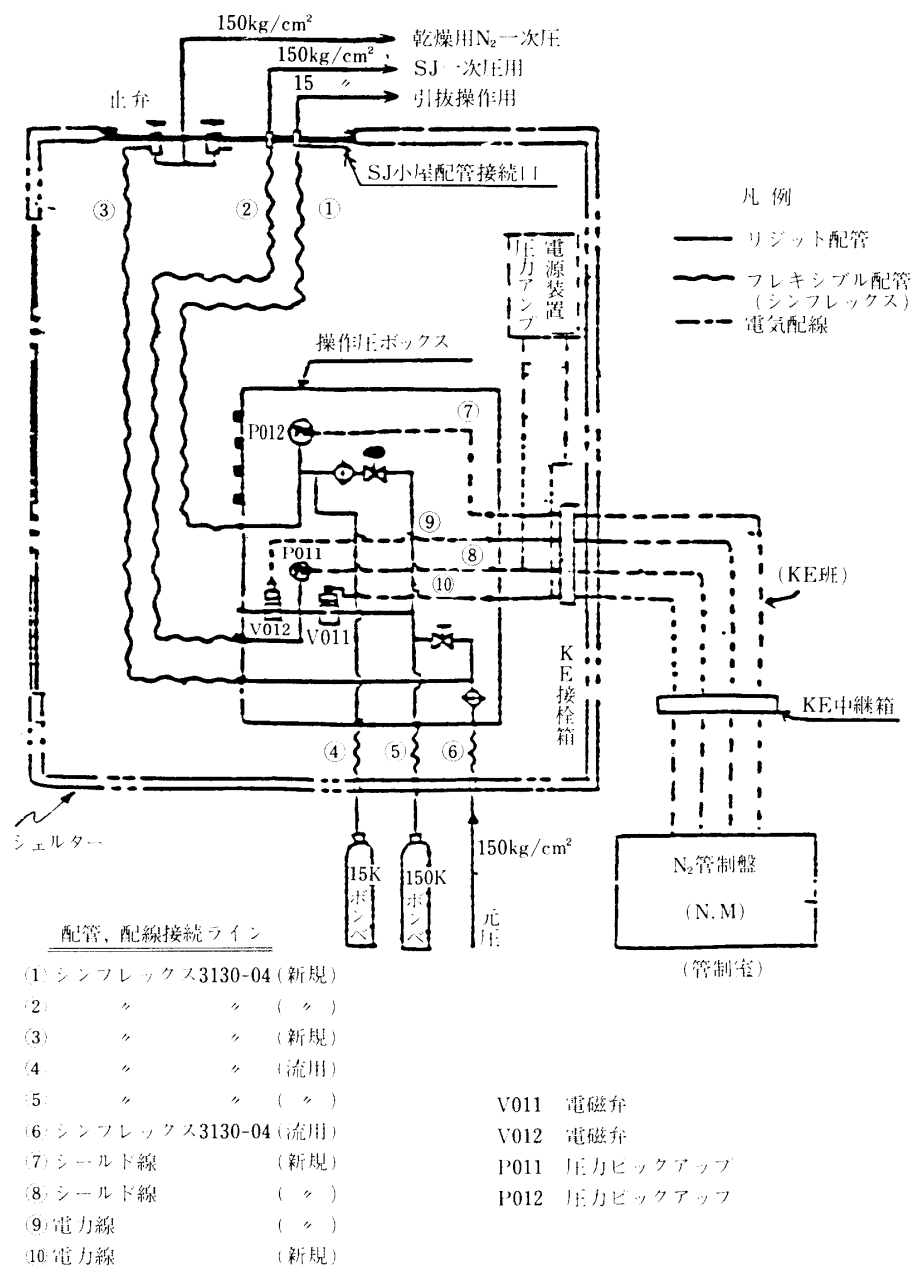
6.2.2 注 気 装 置

この装置は, SJ および TVC の 1 次圧, これらの操作圧および衛星乾燥用 1 次圧の窒素ガスの供給を行うものであり, シェルター内に設けた操作圧ボックス並びに M 整備塔配管からなっており, M 整備塔 1 階に設置された CN-SJ/TVC 注気, 注液操作盤を経由している。

(1) 操作圧ボックス

従来の過酸化水素固定供給装置をシェルター内より撤去, 代わりに操作圧ボックス部分に一部追加配管したものを設置, 窒素ガスの 1 次圧, 2 次圧も供給する。

主な性能



第20図 注気装置配管系統図

- (i) 1次圧 $150\text{kg}/\text{cm}^2$ (SJ, TVC用)
- (ii) 2次圧 $15\text{kg}/\text{cm}^2$ (操作圧用)
- (iii) 乾燥ガス用 1次圧 $150\text{kg}/\text{cm}^2$ (衛星乾燥用)

この配管系統図を、第20図に示す。

(2) M整備塔配管

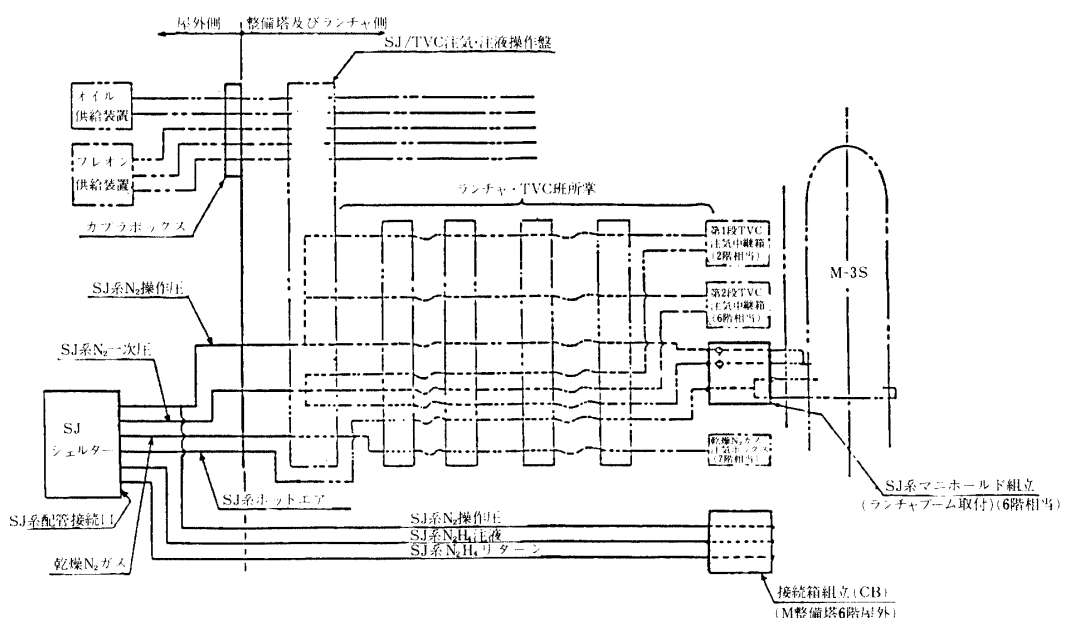
この配管はM整備塔の新設に伴って新設された配管であり、シェルター出口からM整備塔1階のCN-SJ/TVC注気、注液操作盤および6階のCBボックスまでの配管(SJ系のN₂操作圧用、N₂H₄注液、リターン用)並びにランチャーブーム上のSJ系マニホールド組立からなる。なおM整備塔CBボックスへの配管を除くランチャーブーム内のSJ系N₂ガス配管(操作圧、1次圧、およびホットガス系)は、ランチャ、TVC班所掌で施行された。シェルターから送られる配管は次のものである。

1次圧系	150 kg/cm ²	SJ, TVC用
2次圧系	15 kg/cm ²	SJ, TVC操作圧用
乾燥系	150 kg/cm ²	衛星乾燥用
ホット系	10 kg/cm ²	ホットガス(SJ保温用)送気用
ヒドラジン	15 kg/cm ²	(M-3S-3, 4では未使用)
注液系		
ヒドラジン	15 kg/cm ²	(M-3S-3, 4では未使用)
リターン系		

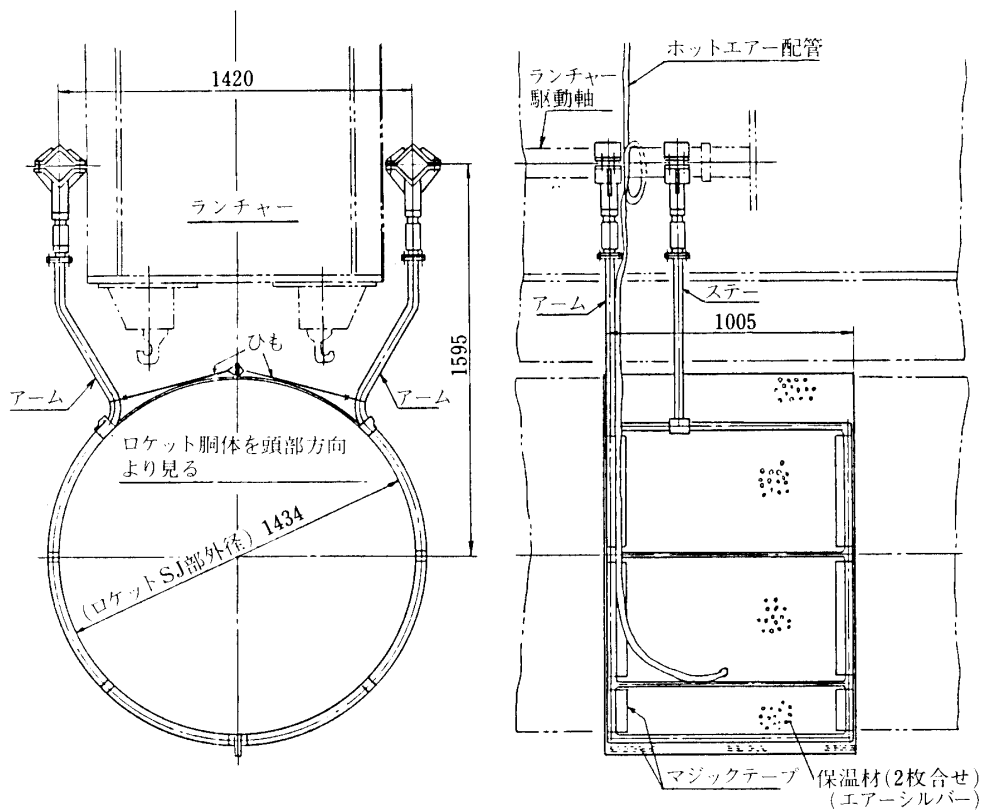
これらの配管系統図を第21図に示す。

6.2.3 ホットガス装置

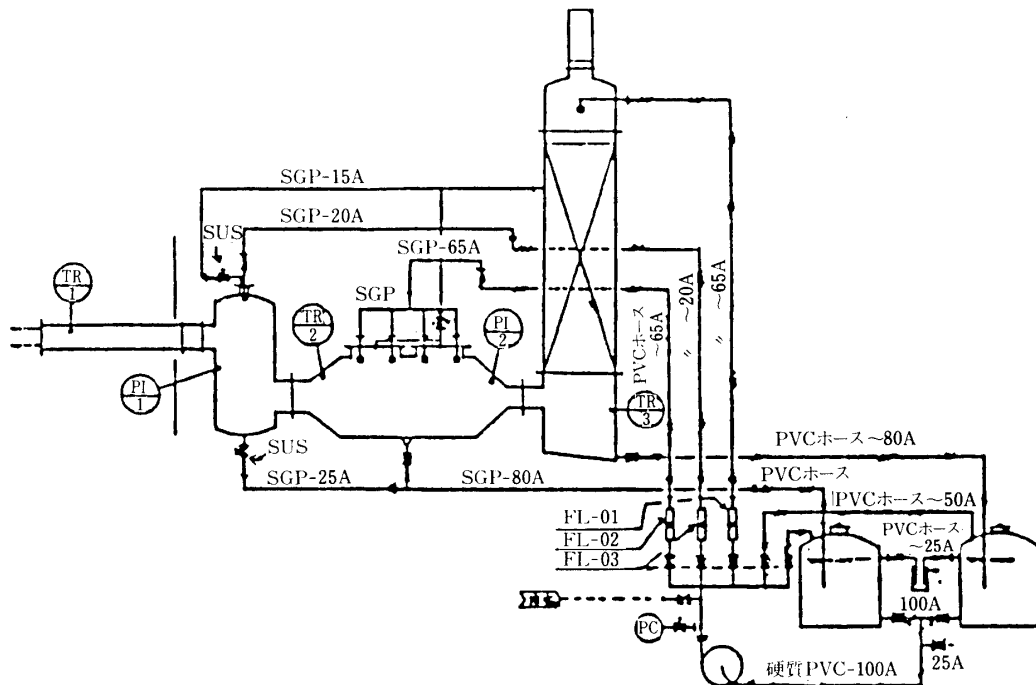
既存(S-520-3 SJ用に使用)のホットGN₂装置をM整備塔の1階に設置しホットガス系配管を通してSJ保温装置のシェルタ内に温風を送気する。この装置は冬期打上の際、ランチャ旋回後にSJ部のヒドラジンタンクの温度低下によるヒドラジン凍結を防止するために運転する。実際の発射では外気温が高く凍結の心配がなかったので本装置は使用しなかった。(M-3S-3, 7.1°C, M-3S-4, 12°C)



第21図 M整備塔配管系統図



第22図 SJ 保温装置



第23図 排気処理装置概要

6.2.4 SJ 保温装置

この装置は、特に冬期打上時、ランチャ旋回から打上までの間に SJ 用のヒドラジン凍結を防止するため、SJ の周りにシェルタを設け、外気を遮断すると共に内部に前述のホットガスを送気するものである。このシェルタ内には温度センサを設け、M 地下管制室の SJ 管制盤でモニタする。この装置は、2組のアームおよび保温膜（商品名エアーシルバ）を貼ったシェルタから成り、SJ 部周りを左右両側から囲い、発射直前ランチャ側の油圧駆動により他のアンビリカルと同時に捲上げる機構になっている。

この装置の概要を第 22 図に示す。

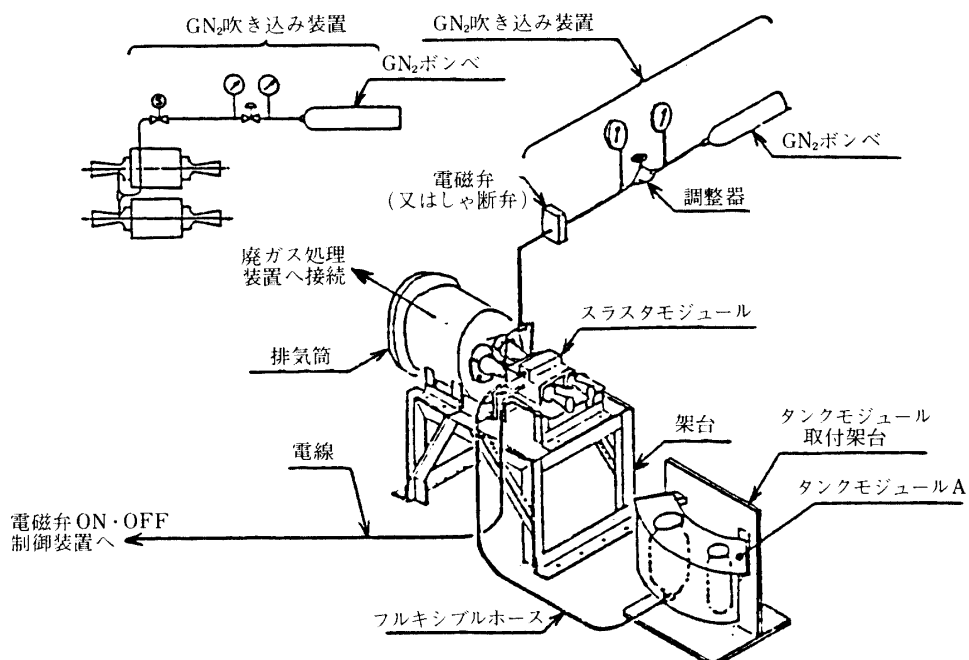
なお M-3 S-4 では発射前の気温が 12°C と高かったため、ランチャ旋回前に保温装置からエアーシルバを取り外した。

6.2.5 排気処理装置

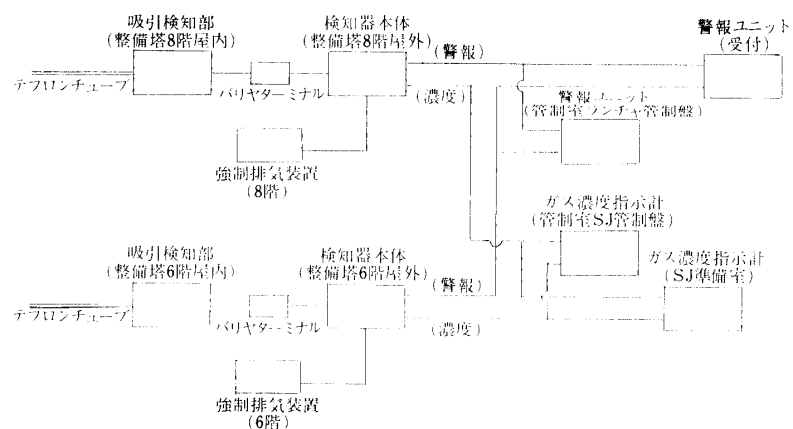
この装置は（次項 6.2.6 に述べる装置と共に）SJ 地上噴射試験に用いるもので、スラスタからの噴射高温ガスを冷却吸収、アンモニアガスおよび未分解のヒドラジンガスを処理するものである。このフローシートを第 23 図に示す。

6.2.6 SJ 噴射試験架台装置

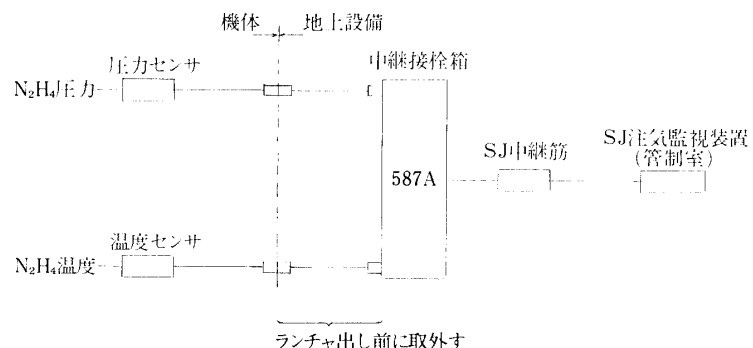
この装置は SJ 地上噴射試験において、M 用 SJ のスラスタモジュール 1組を取付け、KSC の KS ドーム内に設置して燃焼実験を行うためのものである。スラスタは 1 モジュール分でスラスタ 2 組が同時に噴射出来るように排気筒を設け、これが前述 6.2.5 項排気処理装置に直接つながる。主な構成は架台、排気筒、GN₂吹き込み装置および既存の SJ タンクモジュール架台からなる。



第 24 図 SJ 噴射試験架台



第25図 ヒドラジン漏洩警報装置系統図



第26図 ヒドラジン安全監視装置系統図

この装置の概要を第24図に示す。

6.3 安全監視装置

ヒドラジンは、その分解に関しては過酸化水素に較べ格段に安全であるため、M-3S-3以降機体への注液作業を従来の発射直前から発射前日へと変更でき、発射日のタイムスケジュール短縮を可能にした。しかしながらヒドラジンには人体に対する毒性があり、注液作業中及びその後の万一のヒドラジンガス漏洩は非常に危険である。このため新整備塔内6階(SJ用)と8階(衛星RCS用)の2ヶ所にヒドラジン検知器と警報装置及び強制換気装置をランチャ班所掌にて設置した。なお警報装置はKSC受付に於いても警鳴するものとし、夜間整備塔にSJ班不在時にも非常の際には警備員が察知出来る体制とした。又機体への注液後ヒドラジン液圧力、温度を第5図に示したセンサから地上系回線を通してM管制室内でランチャ旋回直前までモニター可能とした。第25図に警報装置、第26図に安全監視装置の系統図を示す。

7. 結 び

M-3 S 用 SJ 装置は従来の過酸化水素を燃料とした 1, 2 号機用からヒドラジンを燃料とした 3, 4 号機用へと大きく変遷した。しかしながら先行の S-520 用 SJ, 衛星 RCS のヒドラジンスラスタ開発の技術蓄積により、この変更は比較的容易に実施することができた。又地上系の大幅な変更も折からの整備塔更新と歩調を合わせた計画及び既存設備の転用等により効率良く対処できたと言ってよいであろう。これらの経験は次期 M-3 S II 型 SJ 及びその地上系の開発へつながる大きなステップとなった。

参 考 文 献

- [1] 長友他:M-3 S, サイドジェットエンジン部について, 東大宇宙研報告第 14 卷第 1 号(B)
(1978 年 3 月)
- [2] 上杉他:M-3 H, サイドジェットエンジン部について, 東大宇宙研報告第 16 卷第 1 号(B)
(1980 年 2 月)
- [3] 昭和 56 年度第 2 次飛翔実験計画書, 宇宙科学研究所 SES-TD-81-020 (1982 年 1 月)